

防波施設に併設する波浪エネルギー吸収装置の研究

— 波力水車方式 —

近藤俊郎*・谷野賢二**・高橋幹夫***
渡部富治****・奥田教海*****

1. まえがき

波力エネルギー吸収装置もしくは波力発電装置は昔から数多く考案されているが、組織立った研究の対象となつたのは 1970 年以降である。近年における研究の対象は専ら「沖合・浮体式」と呼べる、主として沖合に浮いている物体の運動を利用してエネルギーを取り出す方式が中心となっている。なかでも海洋科学技術センターの波力発電船「海明」による実海域での大規模な実験は記憶に新しい。一方、従来、防波施設によって反射あるいは消散されていた波浪エネルギーを積極的に利用する方式も考えられる。

筆者らは沿岸の防波施設、特に防波堤の多目的利用のひとつとして波からエネルギーを取り出すことのできるタイプの防波施設を検討してきたが¹⁾、その 1 つとして防波堤に併設する波力水車式のエネルギー吸収装置を考案し、研究している。本論文では、吸収装置の特性を明らかにし、あわせて防波施設としての機能を検討するものである。

2. 基本的な特徴

ここで対象とする波力水車式のエネルギー吸収装置は、図-1 に示すような通常の防波堤用ケーンの前壁を取り扱った構造物の内部の水室内に定常波を発生させ、その節の位置における水の水平運動によって水車を回転させてエネルギーを取り出そうとするものである。定常波動の水粒子速度は交番性なので、水車から一定方

向の回転力を得るには、プロペラ型水車の回転軸に一向向クラッチを介する方法と、羽根の抗力の不均衡を利用して何れの方向の流れに対しても一方向に回転するサボニウス・ロータを用いる方法が考えられる。ここでは維持補修上の容易さから、鉛直軸型のサボニウス・ロータを研究対象として取り上げた。この型式では回転運動の際に抵抗となる羽根が常に存在するので、この欠点を改善する目的で流れを片寄せする導流板を設けた。

3. エネルギー吸収装置

(1) 水車の回転運動の解

波力水車を有する防波構造物による波の変形と吸収エネルギー工率などの解析は小振幅長波を対象に行なつたが、その手順の概要は次の通りである。

(i) 有限幅員の透水層を有する段上り型の不透過堤による波の線形理論を誘導する。(ii) 水車並びに段上り等による損失係数を推定し、非線形抵抗を線形化して(i)の理論を用い、繰返し計算により水粒子速度、反射率等を計算する。(iii) 水車の運動方程式をたて、その解から(ii)の水粒子速度を用い吸収工率等を計算する。このうち、(i), (ii) については発表済み^{2), 3)}であるので、(iii)について述べることとする。

鉛直軸をもつ波力水車の運動方程式は、

$$(I + I_a)\ddot{\theta} + N_w\dot{\theta} + k\theta = \tau_w - \tau. \quad \dots \dots \dots (1)$$

ここに、 I : 水車の慣性モーメント、 I_a : 水車の水中での付加慣性モーメント、 N_w : 水車の造波抵抗係数、 k : 水車の水中での復元係数、 τ_w : 水車に作用するトルク、 τ : 負荷トルク、 θ : 水車の回転角。

図-2 に示すような波力水車に作用するトルクは下式で推定される。

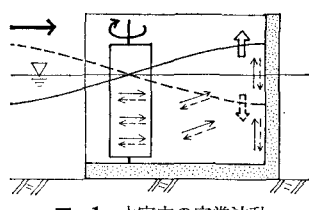


図-1 水室内の定常波動

* 正会員 工博 室蘭工業大学教授 工学部土木工学科
 ** 正会員 工修 室蘭工業大学助手 工学部土木工学科
 *** 正会員 工修 日本テラボット(株) (前室蘭工業大学大学院
 土木工学専攻)
 **** 工博 室蘭工業大学教授 工学部2部機械工学科
 ***** 室蘭工業大学教授 工学部機械工学科

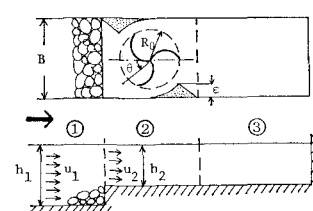


図-2 不透過堤モデル

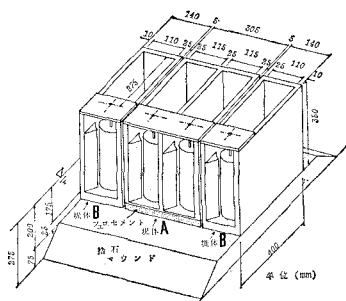
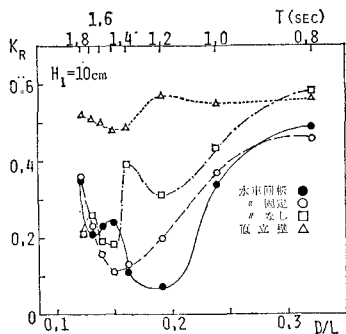


図-5 模型堤体概念図

図-6 $D/L(T)$ ～反射率

転の状態で測定した。解析は Healy の方法に拠った。

(2) 実験結果

図-6 は入射波高 H_1 が一定の場合の反射率である。水車と導流板を併設した場合、反射率は低下し、特に無拘束回転では最小値は約 0.1 である。周期との関連では、 $T=1.2 \sim 1.5$ sec で最小値となり、それより周期が長くあるいは短くなるに従って増加する傾向にある。これは透水壁防波堤の反射率特性と一致していると見なせる。

一方、直立壁としたときの反射率は約 0.6 である。通常のケーソン式混成堤の不規則波に対する反射率は 0.8 程度となるが⁴⁾、規則波ではこの程度の値をとるものと思われる。消波ブロック被覆堤の反射率は 0.2~0.5 といわれることから、本システムは従来の消波工に匹敵する消波性能が得られる。

5. 堤体の安定性

(1) 実験方法

実験模型は 4. で用いた 1/20 モデルを使用し、図-5 に示された中央の堤体 A について、滑動と全波力を測定した。

滑動実験では、マウンドとの接触面の摩擦係数を実物の場合と等しくする為に、フェロセメント版を底部に接着し、予め実験により摩擦係数 ($\mu=0.605$) を決定した。実験は堤体 B を取り除いた状態と、比較の為に空中重量 (38.8 kg) の同じ直立壁についても行なった。

波力については、ピックアップとして堤体を L 形片持しばりで支持し、はりの変位をひずみゲージで測定することによって、水平波力と揚圧力を算定する方法を用いた。ピックアップの固有振動の影響を除去する為に、外力に対する振動の增幅率を求めて測定値を補正した。

水車に作用する波力については、水車の回転軸を 15 mm 角のアルミ製片持しばりで支持し、直交する二方向の変位をひずみゲージで測定して波力の直交成分を算定し、合力 P_T を求めた。

(2) 実験結果

a) 滑動限界波高

実験結果は 図-7 に示されている。本実験の範囲では、周期に対し、滑動限界波高は下に凸の傾向がある。水車設置の連続堤とした場合、直立壁に比べて 2 倍の波高で滑動しており、安定性が良いことが認められる。

b) 波力特性

図-8 は最大水平全波力 $P_{H,max}$ と最大全揚圧力 $P_{U,max}$ について、周期との関係を示している。直立壁と比較する為に、合田式による計算値で除した無次元量 $P_{H,max}/P_{H,G}$, $P_{U,max}/P_{U,G}$ で表わされている。水車なしの場合、 $P_{H,max}$ は直立堤の 0.8~1.2 倍、 $P_{U,max}$ は短周期によるほど増加して周期 1.0 sec で 3 倍となっている。一方、水車有りでは、 $P_{H,max}/P_{H,G}$ は $T=1.5$ あるいは 1.7 sec で最大となり、平均 0.65 程度と直立壁

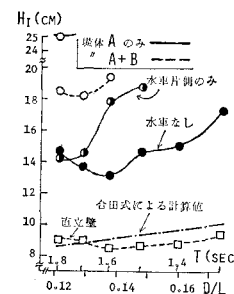
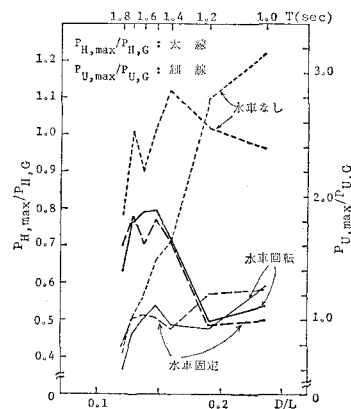
図-7 $D/L(T)$ ～滑動限界波高

図-8 水平全波力、全揚圧力

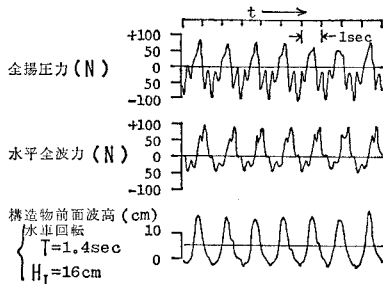


図-9 波力、揚圧力測定記録例

よりも波力は減少している。また、 $P_{U,\max}/P_{U,g}$ は周期が長くなるほど減少する傾向にあり、1.2~0.6の値となっている。

図-9は水平全波力と全揚圧力の時間記録の例であり、同時に構造物前面波高も記録されている。同図から知れるように、全揚圧力のピークは前面波高のピークと一致している。一方、水平全波力は後壁に波の峠があるときに出現している。波力の絶対値の低減に加えて、この様なピーク位相のずれが直立壁に比べて滑動限界波高を大きくし、安定性を高めている要因となっている。

c) 水車に作用する波力の特性

図-10は波高と周期に対する全波力 P_T の変化を示したものである。波高との関係をみると、水車固定、回転とともに正の（流れにおける）波力 P_{T+} の増加率は負の（流れの）それよりも大きい。一方、周期に対する波力の変化をみると、短周期に向って漸減する傾向にある。このとき、水車回転では正の波力の方が大きいが、水車固定ではその関係が逆転している。これは水車固定の場合、後壁と水車間での定常波が卓越していることによると推定される。なお、 P を正の流れに対する波力、 H_I を入射波波高、 A を受波面積とし、波力係数 C_p を $P = w_0 C_p H_I A$ で定義すると、 A として水車の投影面積をとった場合、およそ $C_p=0.6$ である。

6. テスト・プラントの建設と現地観測

(1) テスト・プラントの計画と設計

この種の波浪エネルギー吸収装置は実際には不規則な海の波で稼動するものであるから、それに対する装置の特性や耐久性を調べておくことが不可欠となる。そこで波浪規模の小さい噴火湾に面した室蘭港北外防波堤に、小規模なテスト・プラントを設置することにした。室蘭港における波浪条件を検討した結果、テスト・プラントの規模は図-11のようにした。

図-12にテスト・プラントに取り付けた変換装置の系統図を示す。変換装置には、往復流中の水車の回転変動を平滑化する為にフライホイールが、また、フライホイール側が水車側に動力の逆流を生ずるのを防ぐ為に一方向クラッチがそれぞれ取り付けられている。

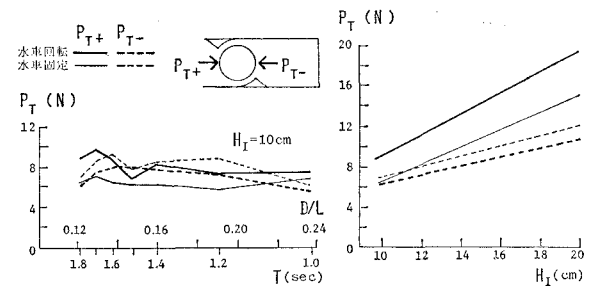


図-10 水車に作用する波力

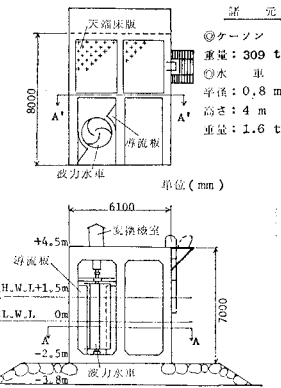


図-11 テスト・プラント概要

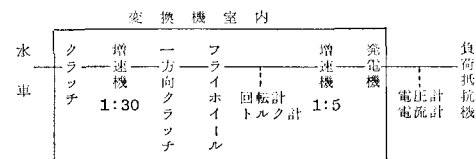


図-12 變換機系統図

本装置による目標最大出力 W_{gt} は、取得率 10% とすると、以下になる。

$$H_{1/3}=1.0\text{ m}, \quad T_{1/3}=5\text{ sec} \text{ の場合, } W_{gt}=0.62\text{ kW}$$

$$H_{1/3}=1.5\text{ m}, \quad T_{1/3}=6\text{ sec} \quad " , \quad W_{gt}=1.7\text{ kW}$$

これより、2 kW の直流分巻発電機と負荷抵抗機を準備した。

(2) テスト・プラントにおける観測

図-13、表-1は56年5月に行なわれたテスト・プラントによる観測結果の例である。解析は10分間のアナログ・データを0.5 sec 間隔でサンプリングし、A/D 変換して回転軸出力と発電機出力の最大値、平均値、頻度分布を求めた。波の周期と波高は、テスト・プラント

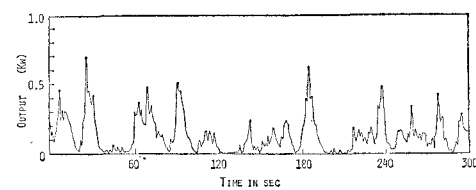


図-13 発電出力

表-1 出力の解釈例

波浪条件		エネルギー吸収特性					
観測時刻	$H_{1/3}$ 有義波	観測時刻		最大出力 kW		平均出力 kW	
		波高 m	周期 sec	回転軸	発電機	回転軸	発電機
		1530～1540		1.898	1.227	0.229	0.146
15	1.0	4.1		1.436	1.035	0.210	0.134
16	1.1	4.2		1.766	1.081	0.196	0.125

から 2 km 沖、水深 -23 m の地点に設置された北海道開発局の超音波式波高計のデータからテスト・プラント位置の波高を推定した。

図および表から知れるように、平均出力は最大出力のおよそ 1/10 であり、差が相当大きい。単位峯幅あたりの入射波の工率を、 $H'_{0,1/3} = K_r H_{0,1/3}$ とし、次式⁵⁾

$$\bar{W}_i = 0.44 H'_{0,1/3}^2 T_{1/3} \quad (\text{kW/m}) \quad \dots \dots \dots \quad (11)$$

で計算した場合、平均出力でのエネルギー取得率は 4% 程度に留まった。今後、装置の特性を更に検討し、平均出力と最大出力の差を縮める努力が必要である。

7. あとがき

室内実験およびテスト・プラントによる観測を通じて

本システムの波浪エネルギー吸収装置として可能性を追求してきたが、波浪条件に応じた最適負荷の設定方法等多くの課題が残されている。今後、さらに研究を発展させ、実用化に向けての基礎資料を充実する所存である。

なお、本研究の一部は昭和 53・54 年度文部省科学研究費試験研究(2)によって行なったものである。

最後に、本研究を進めるにあたり、室蘭工業大学松田敏彦教授並びに同鈴木好夫、山下光久助手からは計測およびデータ解析について始終ご指導を賜わった。また、北海道開発局室蘭港湾建設事務所の各位には波浪資料等につきご支援いただいた。ここに記して深く感謝する。

参 考 文 献

- 1) 近藤淑郎: 防波施設と併用する固定式波力発電装置の研究、昭和 53・54 年度文部省科学研究費試験研究(2) 研究成果報告書, 44 p., 1980.
- 2) 近藤淑郎: 段上型直立消波構造物の機能について、第 27 回海講論文集, pp. 339～343, 1980.
- 3) 近藤淑郎 他: 波力水車のエネルギー吸収特性、土木学会北海道支部論文報告集, 第 37 号, pp. 175～180, 1981.
- 4) 谷本勝利 他: 各種ケイソン式混成堤の反射・越波および波力特性に関する模型実験、港湾技研資料, No. 249, 38 p., 1976.
- 5) 吉本 豊 他: 北海道各港の波浪特性、土木学会北海道支部論文報告集, 第 37 号, pp. 169～174, 1981.